

ИССЛЕДОВАНИЕ КИНЕТИКИ ВОДОРОДНОГО ОБМЕНА МЕЖДУ СПИРТОМ  
И АМИНОМ В РАСТВОРЕ МЕТОДОМ ОСТАНОВЛЕННОЙ СТРУИ

С.Ф.Бурейко, Г.С.Денисов

Физический институт Ленинградского университета

Поступила в редакцию 21 мая 1973

Кинетика изотопного обмена водорода между дейтероэтанолом и диэтиламином была исследована в  $\text{CCl}_4$  с помощью метода остановленной струи и ИК-спектроскопии. Были определены константы скорости и энергии активации. Данные интерпретируются на основе кооперативного перехода водорода в циклическом промежуточном комплексе с водородными связями.

The kinetics of hydrogen isotope exchange between deutoethanol and diethylamine have been studied in  $\text{CCl}_4$  solution using the stopped-flow method in combination with IR spectrophotometry. The rate constants and activation energy have been determined. The results are interpreted in terms of cooperative proton transfer via a cyclic, hydrogen-bonded transition state.

Кинетика межмолекулярного перехода протона в соединениях РХН, способных к образованию водородной связи как в качестве донора, так и акцептора протона, изучалась в работах [1-5] по изотопному обмену водорода с помощью ИК-спектров поглощения. Применение ИК-спектроскопии дает возможность исследовать этот процесс в газовой фазе или в разбавленном растворе в присутствии инертного растворителя, т.е. в условиях минимального взаимодействия компонента со средой. Временная разрешающая способность стандартной спектральной аппаратуры позволяет измерять кинетику обменных реакций с полупериодом не менее 5-10 сек. Это осуществимо лишь при специальном выборе молекул-партнеров,

обладающих низкой протонодонорной и протоноакцепторной способностью.

Целью настоящей работы было развитие методики исследования в растворе реакций водородного обмена, завершающихся в интервале  $10^{-3}$ – $10$  сек, и изучение кинетики обмена в системе спирт-амин-инертный растворитель. Для этого необходимо, во-первых, уменьшить постоянную времени приемно-регистрирующего устройства до  $\sim 10^{-4}$  сек и, во-вторых, обеспечить смешение реагентов за время порядка  $10^{-3}$  сек или меньше. В установке, собранной на базе монохроматора ИКС-11, в качестве приемника излучения использовано охлаждаемое до  $77^{\circ}\text{K}$  фотосопротивление Р्यTe ( $\tau \sim 20\text{--}30$  мсек), сигнал которого после усиления подавался на электронный осциллограф ЭН0-1, снабженный фотоприставкой. "Запуск" процесса осуществлялся смешением реагентов в устройстве, работающем по принципу остановленной струи, которое подробно описано в [6]\*. Длина канала наблюдения менялась от 2 до 10 мм; ширина спектрального интервала, выделяемого монохроматором, была не более  $15\text{ см}^{-1}$ . Излучение источника модулировалось с частотой 1000 гц, ширина полосы пропускания усилителя ( $K \sim 2000$ ) составляла  $\sim 0,5$  кгц. За ходом процесса следили по изменению интенсивности выбранной в интервале 2000–4000  $\text{см}^{-1}$  полосы поглощения одного из реагентов или продуктов реакции, на которую заранее настраивался монохроматор. Оценка времени смешения реагентов была проведена по полосе  $\nu_{\text{OH}} 3495$ .

---

\* ) Авторы искренне благодарят Е.М.Бражникова, Е.К.Руссияна и А.С.Шаломеева за предоставление чертежей струевого устройства и ценные консультации.

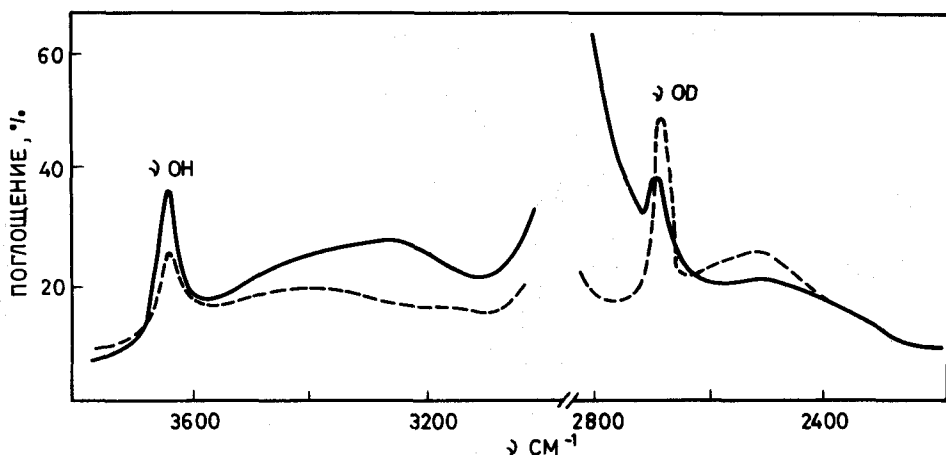


Рис.1. Спектр системы 0,1 моль/л  $\text{C}_2\text{H}_5\text{OD}$  + 0,2 моль/л  $(\text{C}_2\text{H}_5)_2\text{NH}$  в  $\text{CCl}_4$  после обмена (штриховая линия — спектр исходного раствора 0,1 моль/л  $\text{C}_2\text{H}_5\text{OD}$  ).

$\text{cm}^{-1}$  комплекса с водородной связью  $\text{CH}_3\text{OH} \dots \text{O}(\text{C}_2\text{H}_5)_2$ , образующегося при смешении растворов метанола и диэтилового эфира в  $\text{CCl}_4$ . Оно составляет для нашей установки 2–3 мсек.

Реакция водородного обмена между группами НН и ОН амина и спирта изучалась на примере системы этанол–диэтиламин в  $\text{CCl}_4$ . Кинетические характеристики процесса  $\text{C}_2\text{H}_5\text{OD} + (\text{C}_2\text{H}_5)_2\text{NH} \rightleftharpoons \text{C}_2\text{H}_5\text{OH} + (\text{C}_2\text{H}_5)_2\text{ND}$  определялись по полосам спирта  $\nu \text{ OH}$   $3638 \text{ cm}^{-1}$  и  $\nu \text{ OD}$   $2683 \text{ cm}^{-1}$  (рис.1); расхождение результатов, полученных на разных полосах, не превышало 15%. Кинетика реакции исследовалась при 5 температурах в интервале 8–50°C; при каждой температуре проведена серия экспериментов при разных концентрациях реагентов, которые менялись в пределах 0,02 – 0,2 моль/л. Типичный образец получаемых в эксперименте осцилограмм представлен на рис.2. Обработка результатов показывает, что равновесное распределение изотопов устанавливается по экс-

поненциальному закону. Значения скорости процесса  $R$ , константы скорости  $k$  и порядков реакции по спирту  $\alpha$  и амину  $\beta$  определялись как и ранее [3,7]. При всех температурах скорость реак-

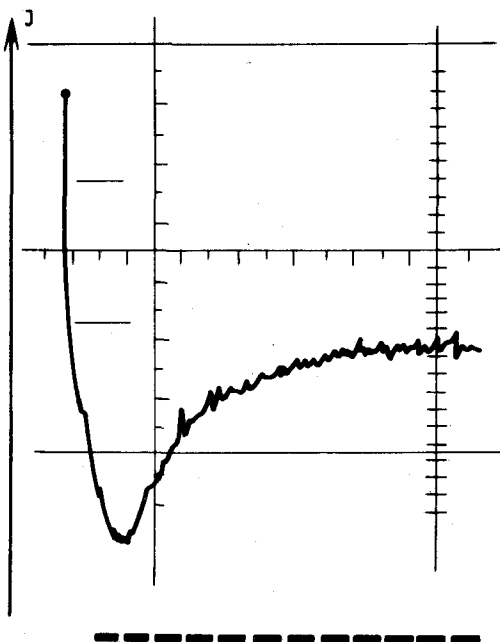


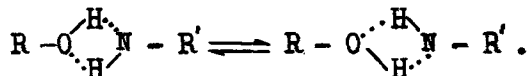
Рис.2. Рост во времени интенсивности проpusкания максимума полосы  $\nu$  OD при обмене 0,2 моль/л  $C_2H_5OD + 0,075$  моль/л  $(C_2H_5)_2NH$  при  $30^\circ C$  развертка осциллографа 300 мсек, метки времени — через 20 мсек.

ции линейно возрастает с концентрацией каждого компонента, так что значения порядков реакции близки к единице. Это даёт основание считать процесс обмена бимолекулярным, что является типичным для реакций водородного обмена рассматриваемого типа в растворе. В таблице приведены средние значения  $k$ , рассчитанные в бимолекулярном приближении ( $\alpha = \beta = 1$ ). Важно подчеркнуть, что в условиях наших опытов некоторая часть молекул спирта присутствует в форме самоассоциатов или комплексов с ами-

ном (ассоциация амина незначительна). Доля свободных молекул спирта, оцененная по полосе  $\nu$  OH мономера, менялась от 0,9 до 0,4 в зависимости от концентрации компонентов и температуры. При этом не обнаруживается какой-либо зависимости кинетических характеристик обмена от степени ассоциации спирта, так же как и в работах [5,8]. Поэтому во всех случаях при обработке результатов в качестве концентрации спирта использовалась исходная (аналитическая) концентрация. В координатах  $\ln k - 1/T$  температурная зависимость константы скорости хорошо аппроксимируется прямой; величина энергии активации процесса  $\Delta E$  найдена равной  $1,4 \pm 0,2$  ккал/моль. Таким образом, в изученном интервале концентраций и температур скорость реакции  $R = Q/g$  ( $g$  — изотопная поправка) описывается уравнением:

$$Q/g = [C_2H_5OH] [(C_2H_5)_2NH] \cdot 1,76 \cdot 10^3 \exp(-1400/R_0 T) \text{ л/моль·сек.}$$

Элементарный акт обмена будем рассматривать как синхронный переход протонов в циклическом комплексе с водородными связями, включающем по одной молекуле спирта и амина:



Обсуждая механизм изотопного обмена в системе спирт-амин (двойная смесь и раствор в бензоле), авторы работы [9] исходят из гипотезы о том, что стадией, определяющей скорость процесса, является разрыв циклического комплекса с водородными

связями [10]. Это приводит к значению среднего времени жизни протона в данной молекуле порядка  $10^{-7}$ - $10^{-8}$  сек. Величина такого порядка и меньше действительно

характерна для времени жизни водородной связи (см. например [11]). Но время между двумя актами протонного обмена в

системе амин-спирт по нашим

данным оказывается на 5-6 порядков больше. Поэтому можно заключить, что скорость обмена в этой системе, как и в случае галоидоводородов [12], определяется стадией перехода через барьер между двумя минимумами на поверхности потенциальной энергии системы, соответствующими двум эквивалентным состояниям циклического комплекса [13]. Увеличение прочности водородных связей в комплексе ведет к увеличению глубины этих минимумов и, по-видимому, к понижению высоты разделяющего их барьера. Действительно, значения константы скорости и энергии активации в изученной системе спирт-амин по сравнению с величинами, характерными для водородного обмена спирт-меркаптан и амин-меркаптан в растворе [3], следуют этой закономерности.

#### ЛИТЕРАТУРА

- [1] Г.С.Денисов, Е.В.Рыльцев, Э.М.Казакова: ЖК, 8, 690 (1968)
- [2] Л.П.Белозерская, Г.С.Денисов, И.Ф.Тупицын: ТЭХ, 6, 408 (1970).

Таблица 1.

Значения констант скорости реакции при различных температурах.

$t^{\circ}\text{C}$	Число опытов.	$k$	л моль $\cdot$ сек
8	20	$142 \pm 20$	
20	36	$148 \pm 10$	
30	15	$157 \pm 10$	
40	19	$186 \pm 20$	
50	25	$178 \pm 10$	

- [3] С.Ф.Бурейко, Г.С.Денисов, К.Г.Тохадзе: Кинетика и катализ 12, 62 (1971).
- [4] Г.С.Денисов, А.Е.Семенова: ТЭХ, 8, 822 (1972).
- [5] Г.С.Денисов, К.Г.Тохадзе: ДАН СССР, 207, 1387 (1972).
- [6] А.С.Шаломеев, Т.И.Смольянинова, Э.М.Гоникберг, Е.М.Бражников, Е.К.Руссиян, В.М.Андреев: Изв.АН СССР, сер. хим., 1035 (1970).
- [7] С.Ф.Бурейко, Г.С.Денисов, И.Ф.Тупицын: Реакц. способн. орг. соед., 9, 773 (1972).
- [8] I.M.Klotz, B.H.Frank: J.Amer. Chem.Soc., 87, 2721 (1965).
- [9] P.Huyskens, T.Zeegers-Huyskens: Bull.soc.chim. Belges, 70, 511 (1961).
- [10] Г.П.Мицлухин: Изотопы в органической химии, изд. АН УССР, 229, 1961.
- [11] J.Rassing: Adv. molec. relax. processes, 4, 55 (1972).
- [12] Г.С.Денисов, Е.В.Рыльцев: ТЭХ, 3, 701 (1967).
- [13] Г.С.Денисов, К.Г.Тохадзе: Сб.Молекулярная спектроскопия, изд.ЛГУ, вып.2 (1973).